

## ОЦЕНКА ПАРАМЕТРОВ РАЗРУШЕНИЯ И ИНИЦИИРОВАНИЯ КОНДЕНСИРОВАННЫХ ВЗРЫВЧАТЫХ МАТЕРИАЛОВ УДАРОМ

А. В. Дубовик

Институт химической физики им. Н. Н. Семенова РАН, 117977 Москва

На основе общих представлений о механической деформации и разрушении тонкого слоя вязкопластического взрывчатого материала при ударе и возникающего в результате этого диссипативного и химического тепловыделения качественно рассмотрен вопрос о наличии двух критических состояний взрывчатого материала, связанных с разупрочнением слоя и возбуждением взрыва. Выполнены оценки критических условий разрушения и параметров инициирования взрывчатого материала — энергии удара и создаваемого им давления в веществе. Полученные результаты использованы для объяснения экспериментальных данных о зависимости параметров инициирования от толщины слоя взрывчатого материала, которые представляют практический интерес для анализа результатов испытаний взрывчатых систем на чувствительность к механическим воздействиям.

### КРИТИЧЕСКОЕ ДАВЛЕНИЕ ИНИЦИИРОВАНИЯ ВЗРЫВЧАТОГО МАТЕРИАЛА

Напомним, что в наиболее простой постановке лабораторный эксперимент по определению чувствительности взрывчатого материала (ВМ) к удару проводится так. Слой вещества с начальной толщиной  $h_0 \ll D$  ( $D$  — диаметр ударника) помещается между плоскопараллельными торцами ударника и наковальни, которые вместе с падающим грузом и основанием копра образуют систему нагружения (СН), характеризующую механической жесткостью  $k$ . Скорость удара  $v = \sqrt{2gH}$ , где  $g$  — ускорение силы тяжести,  $H$  — высота сбрасывания груза массой  $M$ . Среднее по площади ударника давление «холостого» опыта (слой ВМ отсутствует) изменяется по квазистатическому закону

$$p(t) = p_x \sin(\pi t/t_x), \quad (1)$$

где  $p_x = (v/S)\sqrt{Mk}$  — максимальное давление,  $t_x = \pi\sqrt{M/k}$  — время удара,  $S = \pi D^2/4$  — площадь ударника. До момента  $t_x/2$  энергия удара запасается в СН (давление возрастает), а затем она почти полностью расходуется на отскок груза от наковальни (давление падает до нуля).

Наличие между соударяющимися поверхностями тонкого слоя вязкого или пластичного материала нарушает закон (1):

1) время удара увеличивается, а максимальное давление уменьшается ( $p_{\max} < p_x$ );

при этом время снижения давления, связанное с полной разгрузкой СН, остается прежним —  $t_x/2$ ;

2) на стадии роста давления монотонная зависимость  $p(t)$  с уменьшением значения  $h_0$  постепенно уступает место немонотонной: давление, достигнув предельного для данной толщины слоя значения  $p_0$ , быстро падает, свидетельствуя о разрушении слоя ВМ и разгрузке СН. Разгрузка протекает при сравнительно большой энергии груза, продолжающего оказывать сжимающее воздействие на слой ВМ. При достаточно малом значении  $h_0$  давление разрушения  $p_0$  превышает  $p_{\max}$ . В пределе (при  $h_0 \rightarrow 0$ )  $p_0 \rightarrow p_x$ , максимум давления  $p_{\max}$  исчезает, однако при этом слой ВМ перестает разрушаться и закон изменения  $p(t)$  вновь подчиняется (1).

В [1] установлено, что время разрушения слоя (динамической разгрузки СН)  $t_p$  уменьшается с ростом энергии (скорости) удара и значений реологических характеристик ВМ. В типичных условиях лабораторных экспериментов на копре значение  $t_p$  вязкопластичных материалов непрерывно растет от 10 до 100 мкс при увеличении толщины слоя. Твердые кристаллические взрывчатые вещества (ВВ) разрушаются за время  $\approx 10$  мкс. Причем сравнительно толстые образцы ВВ могут претерпевать более одного акта разрушения, так что на осциллограммах записи давления удара образуется несколько возрастающих по величине пиков  $p_0$ .

Естественно связать динамический спад

давления нагрузки с потерей несущей способности слоя вследствие его скоростного деформирования и (или) диссипативного разогрева ВМ. Роль этих механизмов в разупрочнении материалов с разной реологией представляется неодинаковой. Действительно, пусть механическое поведение ВМ при ударе описывается моделью жесткопластического тела. Запишем связь между средним давлением  $\Pi = p/\tau_0$  и деформацией слоя  $x = h_0/h$  [2]:

$$\Pi(x) = \Gamma s x, \quad \Pi(1) = \Gamma. \quad (2)$$

Здесь  $\Gamma = D/3h_0$  — параметр, характеризующий геометрию слоя,  $s = \tau/\tau_0$  — безразмерная прочность ВМ на сдвиг,  $\tau$  — текущее значение сдвигового напряжения в слое ВМ,  $\tau_0$  — начальная прочность слоя ВМ. При  $s = 1$  давление линейно зависит от  $x$  и деформация слоя протекает устойчиво.

Вследствие механического разогрева или скоростного деформирования материала значение  $s$  уменьшается и несмотря на возрастание  $x$  скорость роста  $\Pi(x)$  может снизиться до нуля, а на зависимости  $\Pi(x)$  образуется максимум  $\Pi_0$  при  $x = x_{cr}$ . Запишем условие потери устойчивости деформации слоя ВМ

$$\frac{d\Pi}{dx} = \Gamma \left( x \frac{ds}{dx} + s \right) = \Pi \left( \frac{d \ln s}{dx} + \frac{1}{x} \right) \leq 0 \quad (3)$$

и найдем критические условия для указанных режимов разупрочнения.

1. Скорость-деформационное разупрочнение. Пусть зависимость прочности от скорости деформации материала имеет вид  $s = Ay^j$ , где  $y = dx/dt > 0$ ;  $A, j$  — константы. Подстановка  $s$  в (3) дает

$$j \frac{d \ln y}{dx} + \frac{1}{x} \leq 0. \quad (4)$$

Интегрируя (4) при условии  $y(1) = 1$ , получим

$$y \leq 1/x^{1/j}. \quad (5)$$

Полагая  $x|_{t=0} = 1$ , из (5) находим, что скоростное разупрочнение наступает для всех

$$t \geq t_{cr} = j(x_{cr}^{(j+1)/j} - 1)/(j + 1). \quad (6)$$

При малой деформации  $x_{cr} = 1 + \epsilon$  ( $\epsilon \ll 1$ ) получаем критическое время удара  $t_{cr} \approx \epsilon$ , и если  $\epsilon = 0,1$ , то  $t_{cr} = 0,1$ . Принимая характерное время нагружения слоя равным  $t_n = h/v = 10^2$  мкс, находим, что размерное время  $t_{cr} = 0,1 t_n = 10$  мкс. Отсюда следует, что скоростное разупрочнение в пределе по времени может иметь место при разрушении твердых ВМ ударом.

2. Тепловое разупрочнение. Пусть зависимость прочности материала от температуры имеет вид  $s = (1 - U/U_m)^r$ , где  $U = \rho c_p (T - T_0)/\tau_0$ ,  $U_m = U$  при  $T = T_m$ ;  $r$  — константа;  $T_m$  — температура плавления ВМ,  $\rho$  — плотность,  $c_p$  — удельная теплоемкость. Условие разупрочнения (3) записывается так:

$$r \frac{d \ln(1 - U/U_m)}{dx} + \frac{1}{x} \leq 0$$

или

$$U \geq U_{cr} = U_m (1 - (r\Gamma x_{cr}/U_m)^{1/(1-r)}). \quad (7)$$

Для  $r = 0,3$ ,  $\Gamma = 10$ ,  $x_{cr} = 1$ ,  $U_m = 10$  находим  $U_{cr} = 0,8U_m$ . При  $x_{cr} > 1$  слой разупрочняется при температуре, меньшей  $0,8U_m$ . Таким образом, любая малая деформация слоя в адиабатических условиях нагружения протекает неустойчиво и заканчивается его разрушением.

Итак, оба рассмотренных механизма разупрочнения равносильно объясняют происхождение спадов давления при нагружении слоя ВМ ударом. Эффективность каждого из них определяется конкретными условиями эксперимента. В рассматриваемой задаче, однако, важно то обстоятельство, что энергия удара, освобождающаяся при разгрузке СН, расходуется не только на разбрасывание части слоя за пределы ударника, но и на диссипативный нагрев оставшегося ВМ. Если результирующее повышение температуры оказывается достаточно большим, то под ударником начинается химическая реакция термораспада ВМ, которая может закончиться воспламенением и взрывом. Причем для твердых ВВ время взрыва  $t_v$  обычно совпадает с временем разрушения слоя  $t_p$ , тогда как взрывы вязкотекучих ВМ могут происходить и в период последующего роста давления (или даже его завершающего спада в течение  $t_x/2$ , если энергия груза невелика).

Для последующего анализа механизма возбуждения взрыва отметим два результата.

1. До спада давления и сразу после его завершения закон роста давления  $p(t)$  близок к (1). Это означает, что в эти периоды времени удара энергия груза запасается в СН и практически не расходуется на движение и разогрев ВМ. Поэтому до спада давления толщина слоя  $h \approx h_0$ . Она заметно уменьшается (до величины  $h_1$ ) только во время спада давления. Последующий рост давления протекает при почти постоянной толщине  $h_1$  (завершение спада давления фактически определяется возрастом механической жесткости слоя

до величины  $K = E_b S / h_1$ , где  $E_b$  — эффективный модуль упругости ВМ, которая становится соизмеримой с величиной  $k$ ). Заметим, что во время разрушения слоя скорость центра масс СН изменяется незначительно.

2. Из-за быстрого уменьшения толщины слоя скорость диссипативного тепловыделения  $dq/dt = pS|dh/dt|$  максимальна в период спада давления, который в этой связи наиболее благоприятен для инициирования ВМ. Именно поэтому взрывы происходят только во время спада давления или сразу после его завершения. Причем и в последнем случае решающее значение для инициирования ВМ имеет тепловыделение на стадии разрушения слоя. Естественно, сюда не включается инициирование вязкотекучих ВМ во время монотонного роста давления до величины  $p_m$ , которое имеет место при ударе по толстослойным зарядам и не связано с динамической разгрузкой СН. Заметим также, что взрывы твердых ВВ при повторном спаде давления следует рассматривать, как происходящие при новой начальной толщине  $h_1$ .

Поскольку запас энергии в СН перед разрушением слоя является основным источником инициирования ВМ, значение  $p_0$  в начале спада давления, определяющее плотность запасенной энергии, можно рассматривать в качестве удобной количественной характеристики следующего за разрушением процесса возбуждения взрыва. Наибольший интерес представляет значение  $p_0$ , полученное в предельных условиях инициирования, т. е. при минимальной энергии падающего груза, так как именно в этом случае ее можно считать критическим параметром процесса или показателем чувствительности ВМ к удару.

Расчет критических параметров инициирования ВМ начнем с записи соотношения между средним давлением  $p$  и толщиной слоя  $h$ , приняв для общности неньютоновскую модель механического поведения ВМ при ударе [3]:

$$p = \tau a^{-(2n+1)}, \quad a = h/D, \quad a \ll 1, \quad (8)$$

где  $\tau = (1 + 1/2n)^n m \gamma^n / (n + 3)$  — напряжение сдвига в среде с консистенцией (вязкостью)  $m$  и индексом течения  $n$ ,  $\gamma = w/D$  — скорость сдвига,  $w$  — скорость перемещения контактной поверхности ударника. При  $n = 1$  величина  $\tau = 3\mu w/8D$  равна сопротивлению сдвига в слое нормально-вязкой жидкости ( $\mu$  — вязкость); при  $n = 0$   $\tau = \tau_0/3$  и формула (8) переходит в (2). Зависимость  $p(a)$  называется «кривой прочности» слоя ВМ. Для жесткопла-

стической среды величина  $\tau_0$  связана с прочностью на сжатие  $\sigma_0$  соотношением Мизеса:  $\tau_0 = \sigma_0/\sqrt{3}$  [2].

При известном давлении запас энергии в СН составляет

$$W = p^2 S^2 / 2k. \quad (9)$$

Считая, что при разрушении слоя доля  $bW$  ( $0 < b \leq 1$ ) энергии СН затрачивается на нагревание ВМ, получим его температуру:

$$T = T_0 + bW/\rho c_p S h. \quad (10)$$

Период индукции теплового взрыва при температуре  $T$  записывается так:

$$t_r = (c_p R T^2 / Q Z E) \exp(E/RT). \quad (11)$$

Время разрушения слоя  $t_p$  определяется отношением

$$t_p = h/w. \quad (12)$$

Здесь  $w = p/\rho c_0$ ,  $c_0 = (kL/\rho_0 S)^{1/2}$  — скорость распространения упругих волн в СН;  $L$ ,  $\rho_0$  — характерные длина СН и плотность материала ее конструкции.

Введем показатель (критерий) инициирования взрыва

$$F = t_p/t_r. \quad (13)$$

Если  $F \geq 1$  (время реакции меньше времени разрушения слоя), то условия инициирования благоприятны для протекания теплового взрыва. При  $F < 1$  взрывная реакция отсутствует. Подставляя (8)–(12) в (13), после несложных преобразований аррениусовской экспоненты вблизи температуры  $T_0$  и с учетом малого влияния температуры в предэкспоненте (11) на величину  $t_r$  получим «вероятностную» кривую инициирования:

$$F(a) = A a^{2(n+1)} \exp(B a^{-(4n+3)}), \quad (14)$$

$$A = (D \rho c_0 Q Z E / c_p R T_0^2 \tau) \exp(-E/RT_0),$$

$$B = \pi b E \tau^2 D / 8 \rho c_p R T_0^2 k.$$

Для типичных условий испытаний ВМ на чувствительность к удару ( $k = 0,3$  ГН/м,  $c_0 = 3$  км/с,  $D = 1$  см) и следующих характеристик ВМ: для тэна  $\rho c_p = 2$  МДж/(м<sup>3</sup>·К),  $Q = 5,7$  МДж/кг,  $E = 0,16$  МДж/моль,  $Z = 10^{15,6}$  с<sup>-1</sup>,  $\sigma = 60$  МПа,  $n = 0$  — получаем  $A = 8,0 \cdot 10^{-13}$  и  $B = 5,5 \cdot 10^{-4}$ , так что  $A \ll B$  (принято  $b = 1/3$ ).

График функции  $F(a)$  имеет вертикальную асимптоту  $a = 0$ , глубокий минимум  $F_{\min} \approx AB^{2(n+1)/(4n+3)}$  в точке  $a_{\min} \approx$

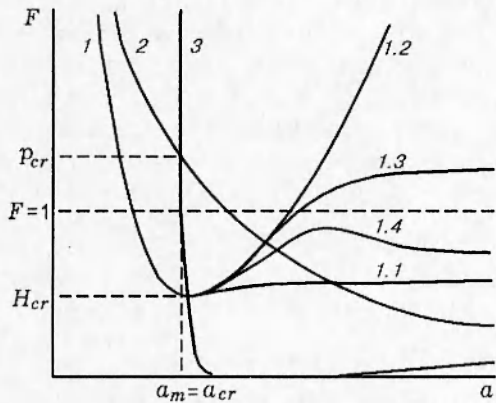


Рис. 1. Схематический вид зависимостей  $H_{\min}$  (1, 1.1–1.4),  $p$  (2),  $F$  (3) как функций параметра  $a$ : 1.1 — кривая  $H_{\min}(a)$  при  $z \rightarrow 0$ , 1.2 — при  $z \rightarrow 1$ , 1.3, 1.4 — при  $0,1 < z < 0,9$

$B^{1/(4n+3)}$  и пересекает ординату  $F = 1$  в точках  $a_m \approx (B/\ln A^{-1})^{1/(4n+3)}$  и  $a_M \approx A^{-1/2(n+1)} \gg 1$ . Точка  $a_M$  нас не интересует. Вблизи точки  $a_m$  значения  $F$  резко (как  $a^{-2/(n+1)} \exp(Ba^{-(4n+3)})$ ) увеличиваются от  $F_{\min} \approx 0$  до 1 и более, четко разделяя область определения  $F$  на области взрывов при  $a < a_m$  и отказов при  $a > a_m$ .

На рис. 1 зависимость  $F(a)$  представлена кривой 3. Там же приведена прочностная кривая 2, построенная в соответствии с (8):  $p/\tau = a^{-(2n+1)}$ . Из-за быстрого («аррениусовского») изменения величины  $F$  вблизи  $a_m$  абсцисса пересечения кривых 2 и 3 практически совпадает с  $a_m$ . Поэтому на кривой  $p(a)$  при  $a < a_m$  все разрушения должны заканчиваться взрывами, при  $a > a_m$  — отказами (взрывы не исключены при повторных разрушениях слоя). Толщина слоя  $a = a_m$  принимается равной критической  $a_{cr}$ . Соответствующее давление на прочностной кривой  $p(a)$  называется критическим давлением инициирования взрыва ударом ( $p_{cr}$ ). Этот параметр широко используется в качестве критерия чувствительности твердых ВВ к удару и определяется экспериментально (на копре) по методу критических напряжений [4].

Численное решение трансцендентного уравнения

$$F(a_{cr}) = 1 \tag{15}$$

дает для тэна значение  $a_{cr} = 0,025$ , по которому определяем критические параметры инициирования:  $h_{cr} = Da_{cr} = 0,25$  мм и  $p_{cr} =$

$\tau/3a_{cr} = 0,46$  ГПа. Расчет по приближенной формуле  $a_{cr} = (B/\ln A^{-1})^{1/3}$  дал значение 0,027, близкое к полученному по уравнению (15).

Отметим хорошее совпадение расчета критических параметров инициирования тэна с экспериментом [4]:  $h_{cr} = 0,27$  мм,  $p_{cr} = 0,48$  ГПа. Это позволяет рассматривать вышеприведенный анализ как теоретическое обоснование экспериментального метода критических напряжений и предложить простую формулу для оценки значений  $p_{cr}$  твердых ВВ:

$$p_{cr} = (\tau/3)(B^{-1} \ln A^{-1})^{1/3} = (\tau/3)(\Phi(1 - X))^{1/3}, \tag{16}$$

$$\Phi = 8\rho c_p T_0 k / \pi b D \tau^2,$$

$$X = (RT_0/E) \ln(D\rho c_0 Q Z E / c_p R T_0^2 \tau).$$

Из структуры (16) видно, что под радикалом она содержит два множителя, отражающих влияние соответственно физико-механических характеристик ВМ и СН (множитель  $\Phi$ ) и физико-химических свойств ВМ (множитель  $1 - X$ ) на критическое давление инициирования взрыва. Для рассмотренного выше расчета  $\Phi = 3,9 \cdot 10^4$ ,  $X = 0,57$ . Влияние указанных параметров на инициирование тэна приблизительно одинаковое. Однако при  $X \rightarrow 1$  влияние физико-химических свойств ВВ становится определяющим, значение  $p_{cr}$  стремится к нулю и ВВ характеризуется исключительно высокой опасностью в обращении. Если  $X \rightarrow 0$ , то чувствительность ВМ определяется главным образом его физико-механическими свойствами и характеристиками СН, величина  $p_{cr}$  стремится к максимальному значению  $\tau\Phi^{1/3}/3$ . В этом случае уровень чувствительности в общем невелик и существенно зависит от условий удара.

Принятое в расчетах значение  $b = 1/3$ , при котором наблюдается наилучшее совпадение теоретических и экспериментальных данных по чувствительности ВВ, позволяет предположить, что на инициирование взрыва расходуется не более половины энергии, запасенной в СН при ударе. В целом следует отметить сравнительно слабую (как степень  $1/3$ ) зависимость  $p_{cr}$  от свойств ВВ и СН. Этим обстоятельством, по-видимому, можно объяснить тот известный факт, что для большинства твердых ВВ, от высокочувствительных инициирующих до малочувствительных бризантных составов, значения  $p_{cr}$  заключены в сравнительно узком интервале —  $0,2 \div 1,2$  ГПа.

### КРИТИЧЕСКАЯ ЭНЕРГИЯ УДАРА

Рассмотрим закономерности возбуждения взрыва вне критической толщины слоя, т. е. при  $a > a_{cr}$  и  $a < a_{cr}$ . Прежде всего, отметим, что давление вдоль прочностной кривой (8) должно быть меньше давления холостого удара, и поэтому  $p_{cr} \leq p_x = (2gH Mk)^{1/2}/S$ . Отсюда следует, что минимальная высота сбрасывания груза, при которой могут возникать взрывы, составляет

$$H_{min} \geq H_{cr} = \pi^2 p_{cr}^2 D^4 / 32 M g k. \quad (17)$$

Критическая высота  $H_{cr}$  — наименьшая из всех высот сбрасывания груза, при которой имеет место инициирование слоя любой толщины [1]. Для тэна с  $p_{cr} = 0,46$  ГПа в соответствии с (17)  $H_{cr} = 2,2$  см при  $M = 10$  кг. В случае  $a < a_{cr}$  условие взрыва  $F > 1$  выполняется тем лучше, чем меньше  $a$ , но так как согласно (8) при этом увеличивается давление разрушения слоя, то с уменьшением значения  $a$  минимальная высота возрастает по закону

$$H_{min} = \pi^2 \tau^2 D^4 / 32 M g k a^{2(2n+1)}. \quad (18)$$

Отметим сильный ход зависимости  $H_{min}(a)$  при  $a < a_{cr}$ . Для твердых ВВ с  $n = 0$   $H_{min} \sim a^{-2}$ , для нормально-вязких жидких ВМ с  $n = 1$   $H_{min} \sim a^{-5}$ . Гипербола  $H_{min}(a)$ , проходящая через точку  $(a_{cr}, H_{cr})$ , представлена кривой 1 на рис. 1.

При  $a > a_{cr}$  затраты энергии на разрушение слоя уменьшаются, но здесь  $F < 1$  и взрывы должны отсутствовать. Однако, как сказано выше, они имеют место, но их происхождение для ВМ с различной реологией и чувствительностью к удару различное. В случае твердых ВВ взрывы возможны при повторном разрушении слоя. Для анализа этой возможности предположим, что первое разрушение и уменьшение толщины слоя от  $h_0$  до  $h_1$  происходит мгновенно в момент времени  $t_0$ . До начала этого разрушения  $p_0 = p_x \sin(\pi t_0/t_x)$ , скорость центра масс СН —  $v_1 = v_0 \cos(\pi t_0/t_x) = v_0(1 - (p_0/p_x)^2)^{1/2}$ .

После отказа взрыва и выброса части вещества за пределы ударника остаточный слой толщиной  $h_1$  вновь подвергается сжатию со скоростью  $v_1$ , которой соответствует давление холостого удара  $p_{x,1} = (v_1/S)(Mk)^{1/2}$ . Повторное разрушение слоя происходит в момент времени  $t_1$  при

$$p_1 = \tau/a_1 \leq p_{x,1} = p_x(1 - (p_0/p_x)^2)^{1/2}. \quad (19)$$

Преобразуем (19), введя следующие обозначения:  $a_x = \tau/p_x$  — наибольшая толщина слоя, не разрушающегося при ударе с заданной силой,  $a_{x,1} = \tau/p_{x,1} = \gamma a_1$  ( $\gamma \approx 1$ ),  $z = a_x/a_{cr} < 1$ . Предположив, что при  $a_0 = a_{cr}$  толщина остаточного слоя  $a_1 = a_x$ , определим неизвестный параметр  $\gamma$ . В результате получим оценку

$$a_1 = a_0((1 - z^2)/((a_0/a_x)^2 - 1))^{1/2}. \quad (20)$$

Исследуем зависимость  $a_1(a_0)$  вблизи  $a_{cr}$ . Полагая  $a_0/a_{cr} = 1 + \varepsilon$  ( $\varepsilon \ll 1$ ), найдем

$$a_1 \approx a_x(1 - \varepsilon z^2/(1 - z^2)). \quad (21)$$

Из (21) следует, что значение  $a_1$  уменьшается с увеличением  $\varepsilon$ . Следовательно, при  $a > a_{cr}$  возрастает давление повторного разрушения слоя  $p_1$  минимальная высота сбрасывания груза  $H_{min}$  также возрастает согласно (17). Однако коэффициент пропорциональности в этой зависимости, определяющий темп роста  $H_{min}$ , для ВВ с различной чувствительностью к удару неодинаков.

Для чувствительных ВВ, характеризующихся высокими значениями  $a_{cr} \gg a_x$ ,  $z \rightarrow 0$  и  $a_1 = a_x(1 - \varepsilon z^2) \approx a_x$ . Этот результат означает, что повторное разрушение слоя толщиной  $a > a_{cr}$  при высоте сбрасывания груза  $H_{cr}$  невозможно, и для возобновления взрывов необходимо хотя бы незначительно увеличить высоту  $H_{min}$ . Причем новая высота  $H_{min}$  будет практически постоянной для всех  $a > a_{cr}$ . Мало чувствительные ВВ характеризуются малыми значениями  $a_{cr} \rightarrow a_x$ , параметр  $z$  стремится к единице и величина  $a_1$  быстро уменьшается до нуля. Поэтому для получения взрывов при  $a > a_{cr}$  необходимо последовательно и значительно увеличивать высоту сбрасывания груза, так что  $H_{min}$  будет быстро возрастающей функцией  $a$ .

Рассмотренные случаи зависимостей  $H_{min}(a)$  приведены на рис. 1 в виде кривых 1.1 ( $z \rightarrow 0$ ) и 1.2 ( $z \rightarrow 1$ ). На практике, однако, предельные случаи встречаются редко и кривые  $H_{min}(a)$  занимают промежуточные положения, в том числе и те, которые показаны на рис. 1 в виде кривых 1.3 и 1.4 (см. экспериментальные данные [5]).

Как отмечалось ранее, взрывы вязкотекучих ВМ при  $a > a_{cr}$  возникают из-за продолжительного диссипативного разогрева в течение всего времени деформации слоя. При этом слой перестает сжиматься, когда его жесткость  $(S/D)|dp/da|_{a=a_*}$  становится равной жесткости СН. Используя (8), найдем предельную толщину сжатого слоя  $a_* = ((2n + 1)\pi D\tau/4k)^{1/2(n+1)}$ .

Номер п/п	ВМ	Состав	$p_{cr}$ , ГПа	$h_{cr}$ , мм	$E_{cr}$ , Дж/см <sup>2</sup>
1	Октоген/вода	80/20	(1,2)	0,09	55
2	ТНТ	—	1,1	0,08	—
3	Аммиачная селитра/ТНТ	80/20	0,9	0,20	30
4	ПХА	—	0,85	0,53	—
5	Тетрил	—	0,84	0,12	—
6	Октоген/алюминий/ каучук	50/30/20	(0,73)	0,27	20
7	Гексоген	—	0,70	0,25	18
8	Октоген	—	0,64	0,45	15
9	Октоген/каучук	80/20	(0,57)	0,35	13
10	ПХА/ТНТ	80/20	0,52	0,20	—
11	ПХА/каучук	80/20	0,52	0,15	10
12	Тэн	—	0,49	0,27	—
13	Октоген/нитрат гидразина	70/30	0,47	0,30	9,4
14	ПХА/нитроглицерин	95/5	0,40	0,40	7,5
15	Перхлорат метиламина	—	0,35	0,56	—
16	Азид свинца	—	0,26	(2,8)	—
17	Полиглицидилнитрат	—	(0,25)	0,30	3,5
18	Жидкий порох	—	(0,14)	0,20	1,7

Примечание. В скобках приведены экспериментальные оценки параметров инициирования ВМ (см. работы [4, 5, 7]).

Как и следовало ожидать, значение  $a_*$  не зависит от  $a_0$  и весьма близко к  $a_x$ . Диссипативные потери при сжатии слоя до  $a_* \ll a_0$  составляют  $\sim p_* S h_*$ . Приравнявая  $p_* S h_*$  энергии груза  $MgH_*$ , найдем высоту сбрасывания груза, при которой энергия удара полностью расходуется на диссипативную работу:

$$H_* = \left[ \frac{(\pi/4)^{n+1} (2\sqrt{2}/\pi n)^n m k^n D^{3+n}}{M^{n+1} (n+3)} \right]^{2/(n+1)} / g. \quad (22)$$

Если энергия груза  $MgH_*$  достаточна для инициирования ВМ, то при всех  $a_0 \gg a_{cr}$  минимальная высота будет приблизительно постоянной и равной  $H_* \geq H_{cr}$ . Например, при  $n = 1$ ,  $\mu = 1$  Па·с,  $D = 2$  см и  $M = 5$  кг имеем  $H_* = 19$  см. Получающиеся при этом зависимости  $H_{min}(a)$  схематически показаны на рис. 1 в виде кривых 1.1, 1.3 и 1.4, которые мы использовали ранее для анализа чувствительности твердых ВВ. Это представляется закономерным, так как формула (22) справедлива и для описания разрушения толстослойных

образцов при  $n = 0$ . Так, для ВВ типа тэна с  $\sigma = 60$  МПа при  $D = 1$  см и  $M = 10$  кг по формуле (22) находим  $H_* = 9,2$  см, что больше полученного ранее значения  $H_{cr} = 2,2$  см, и, следовательно, его кривая чувствительности будет вида 1.3. Заметим, что кривая 1.2 также должна иметь горизонтальную асимптоту, расположенную вне рисунка.

В исследованиях на чувствительность ВМ к удару вместо минимальных высот сбрасывания груза  $H_{min}(a)$  удобнее определять высоты  $H_{50}(a)$ , при которых взрывы возникают с частотой\* 50% ( $a$  не 100%, как при  $H_{min}$ ). На зависимости  $H_{50}(a)$  минимум находится в точке  $a_{cr}$ . По нему рассчитывают критическую энергию удара  $A_{cr} = MgH_{50}(a_{cr})$ , удельную энергию инициирования  $E_{cr} = A_{cr}/S$  и критическое давление инициирования  $p_{cr} = \alpha(2E_{cr}k/S)^{1/2}$ . Здесь  $\alpha < 1$  — коэффициент трансформации энергии груза в энергию СН

\*Частота взрывов — отношение числа взрывов к общему числу ударов (умноженное на 100%) в данной серии опытов.

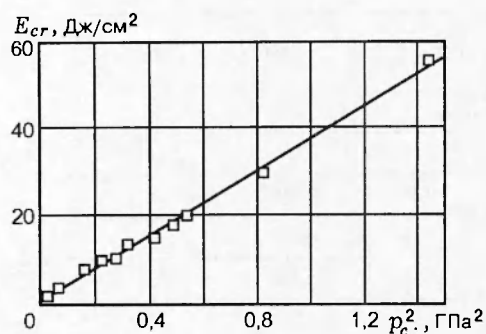


Рис. 2. Регрессионный анализ зависимости  $E_{cr}(p_{cr}^2)$  по данным таблицы

при критических условиях инициирования ВМ, его можно определить так: из неравенства (19) при  $a_0 = a_{cr}$  следует

$$\frac{\tau}{p_x} \left( 1 - \left( \frac{p_{cr}}{p_x} \right)^2 \right)^{-1/2} \leq a_1 < a_{cr} = \frac{\tau}{p_{cr}}, \quad (23)$$

откуда  $\alpha = p_{cr}/p_x \leq 1/\sqrt{2} = 0,707$ . В экспериментах с ВМ установлено, что  $\alpha = 0,7 \div 0,8$  [1, 5]. С учетом коэффициента  $\alpha$  уточним формулу (17) для  $H_{cr}$ , введя в нее множитель 2, вследствие чего расчетное значение критической высоты инициирования для тэна составит 4,5 см, что близко к экспериментальному  $H_{cr} = 5$  см [6]. В таблице приведены критические параметры инициирования ряда ВМ по данным работ [4, 5, 7], а на рис. 2 — зависимость между  $E_{cr}$  и  $p_{cr}$ . В соответствии с (17) имеет место линейная связь  $E_{cr}(p_{cr}^2)$  с высоким коэффициентом корреляции 0,99. Из таблицы видно, что  $E_{cr}$  имеет характер универсального показателя чувствительности, одинаково пригодного для характеристики ВМ с различной реологией — твердых, пластичных, пасто- и гелеобразных и прочих взрывчатых систем, за исключением маловязких жидких ВВ. Для определения значений  $E_{cr}$  не требуется сложной электронной аппаратуры и чувствительных датчиков давления.

Кратко проанализируем возможность связи между критическим давлением инициирования взрыва ударом и показателями чувствительности ВМ по стандартным методам испытаний. Последними согласно ГОСТ 4545-85 являются максимальная высота сбрасывания груза  $H_0$ , при которой имеет место не более одного взрыва 25 образцов массой  $m_0 = 100$  мг в приборе со свободным истечением вещества (№ 2 по Н. А. Холево), и частота взрывов при

$H = 25$  см и  $m_0 = 50$  мг в приборе с затрудненным истечением вещества (№ 1). Согласно (17) должна существовать хорошая корреляция между величинами  $p_{cr}$  и  $H_0$ , если бы последняя определялась при  $m_0 = m_{cr}$ . Однако для всех ВМ  $m_0 = (1 \div 5)m_{cr}$ , поэтому взрывы в основном возникают при повторных разрушениях образцов. Для ВМ, взрывающихся при высотах, близких к  $H_{cr}$  в широком диапазоне толщин  $a > a_{cr}$  (см. кривую 1.1 на рис. 1 для высокочувствительных ВМ), значение  $H_0$  фиксируется достаточно уверенно. В противном случае разброс значений  $H_0$  получается весьма значительным. В результате линейная связь  $H_0(p_{cr}^2)$ , построенная по данным [4–7], характеризуется невысоким коэффициентом корреляции 0,89 (см. также [8, 9]).

Зависимость между  $p_{cr}$  и частотой взрывов установить не удается по ряду причин. Одна из них — значительное отличие механизмов инициирования взрыва в приборах со свободным и затрудненным истечением вещества.

Работа выполнена при финансовой поддержке Российского фонда фундаментальных исследований (код проекта 97-03-32448).

## ЛИТЕРАТУРА

1. Дубовик А. В., Лисанов М. В. Тепловая неустойчивость деформации и воспламенение зарядов реакционноспособных веществ при ударе // Летонация и ударные волны: Материалы 8-го Всесоюз. симпоз. по горению и взрыву. Черноголовка: ИХФ АН СССР в Черноголовке, 1986. С. 6–9.
2. Качанов Л. М. Основы теории пластичности. М.: Наука, 1969.
3. Дубовик А. В., Боболев В. К. Чувствительность жидких взрывчатых систем к удару. М.: Наука, 1972.
4. Афанасьев Г. Т., Боболев В. К. Инициирование твердых взрывчатых веществ ударом. М.: Наука, 1968.
5. Dubovik A. V., Denisaev A. A. Analogy between a solid and visco-flowing explosives initiation by impact // 21th Intern. Pyrotechn. Seminar. Moscow, 1995. P. 182–186.
6. Маурина Н. Д., Федосова Н. А., Рязанская В. С. Методы и результаты изучения чувствительности промышленных ВВ к механическим воздействиям // Взрывное дело: № 68/25. М.: Недра, 1979. С. 158–168.
7. Карпунин И. А., Боболев В. К. и др. О некоторых особенностях возбуждения взрыва ударом и детонационной способности смесей окисли-

- тель — горючее // Физика горения и взрыва. 1979. Т. 15, № 2. С. 140–146.
8. **Дубовик А. В.** Методология исследований чувствительности ВВ к механическим воздействиям // Взрывчатые материалы и пиротехника: № 7–8. М.: ЦНИИНТИ КПК, 1994. С. 3–12.
9. **Кондриков Б. Н.** Сравнительный анализ методов определения чувствительности ВВ к механическим воздействиям // Там же. С. 12–25.

*Поступила в редакцию 2/XII 1997 г.*

---